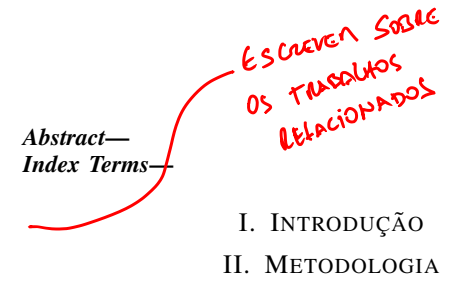
# DREBIN Dataset Classification: A Machine Learning Empirical Evaluation



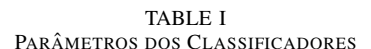
#### A. Dataset

O banco de dados DREBIN [1], derivado do método de mesmo nome, foi desenvolvido para pesquisadores interessados em estudar detecção de *malware* e comparar diferentes abordagens. O *dataset* é composto por um total de 131.611 instâncias, que representam uma variedade de aplicativos reais coletados de diferentes mercados e fontes. Dos aplicativos coletados, 5.560 são classificados como *malware*, enquanto os restantes não representam perigo para o usuário, ou seja, são considerados benignos.

Cada instância do banco de dados é composta pelas características extraídas dos aplicativos durante a análise realizada pelo método DREBIN. Essas características capturam aspectos específicos do comportamento e da estrutura dos aplicativos e são representadas de forma quantitativa, indicando a frequência com que cada característica aparece. O método DREBIN retira essas informações do código e do manifesto do aplicativo, organizando-as nas oito seguintes categorias:

- Componentes de Hardware: Refere-se aos componentes de hardware que o aplicativo utiliza ou interage.
- Permissões Solicitadas: Indica as permissões que o aplicativo solicita ao usuário para acessar recursos do dispositivo.
- Componentes do Aplicativo: Referem-se aos diferentes componentes do aplicativo, como atividades, serviços, receptores de transmissão e provedores de conteúdo.
- Intenções Filtradas: Representa as intenções que são filtradas ou manipuladas pelo aplicativo.
- Chamadas de API Restritas: Indica as chamadas de API que estão restritas pelo sistema Android devido a questões de segurança e privacidade.
- **Permissões Utilizadas:** Refere-se às permissões que o aplicativo realmente utiliza durante sua execução.
- Chamadas de API Suspeitas: Representa chamadas de API que são consideradas suspeitas com base em padrões de comportamento de *malware* conhecidos.
- Endereços de Rede: Indica os endereços de rede com os quais o aplicativo se comunica durante sua execução.

Cada posição no vetor de características corresponde a uma dessas categorias, e o valor nessa posição indica a quantidade de características presentes pertencentes a esse grupo.



| Classificadores                     |  |                          |
|-------------------------------------|--|--------------------------|
| Decision Tree<br>Naive Bayes<br>KNN | Altura maxima = Unlimited<br>Algoritmo: Gaussiano<br>k = 7 | Critério = Gini Impurity |
| MLP                                 | Hidden layers size = $(100)$                               | Max iterations: 1000     |

Os dados, amostras de aplicativos e todos os conjuntos de características extraídas, podem ser acessados através do link fornecido pelos autores do estudo [3].

#### B. Modelos

Neste estudo, conduziremos uma análise empírica na área de classificação binária para a detecção de *malwares*. Faremos uso de algoritmos de classificação monolíticos, incluindo Decision Tree, Naive Bayes, KNN e MLP, conforme detalhado na Tabela 1. Além disso, para explorar estratégias de *ensemble* e aumentar a robustez do estudo, aplicaremos modelos de *Bagging*. Esses modelos criam múltiplos conjuntos de dados de treinamento por meio de amostragem aleatória com substituição e combinam as previsões dos modelos individuais para melhorar a estabilidade e precisão das previsões.

Como estamos lidando com classificadores monolíticos, que tratam todo o conjunto de dados de uma vez, devemos escolher métricas que forneçam uma visão abrangente do desempenho do modelo nas duas classes, especialmente quando há um desequilíbrio significativo entre elas [7]. Por isso, utilizaremos acurácia, precisão, recall, F1 score e área sob a carva ROC para avaliação.

1) Acurácia:

$$Acurácia = \frac{\text{Número de previsões corretas}}{\text{Número total de previsões}}$$
(1)

A acurácia é uma métrica basica que mede a proporção de previsões corretas em relação ao total de previsões feitas pelo modelo. No entanto, em conjuntos de dados desbalanceados, a acurácia pode ser enganosa, pois um modelo pode ser altamente preciso para a classe majoritária, mas ignorar completamente as classes minoritárias Para mitigar esse problema, adotaremos também as outras métricas.

#### TABLE II Parâmetros do Balanceamento

| Algoritmo |                          |                 |
|-----------|--------------------------|-----------------|
| SMOTE     | Sampling Strategy = Auto | K-Neighbors = 5 |

## 2) Precisão:

$$Precisão = \frac{Verdadeiros positivos}{Verdadeiros positivos + Falsos positivos}$$
 (2)

A precisão mede a proporção de verdadeiros positivos (previsões corretas da classe positiva) em relação a todas as previsões positivas feitas pelo modelo.

# 3) Recall:

$$Recall = \frac{Verdadeiros positivos}{Verdadeiros positivos + Falsos negativos}$$
 (3)

O recall mede a proporção de verdadeiros positivos em relação a todas as instâncias que realmente pertencem à classe positiva no conjunto de dados.

## 4) F1 Score:

F1 Score = 
$$2 \times \frac{\text{Precisão} \times \text{Recall}}{\text{Precisão} + \text{Recall}}$$
 (4)

O F1 Score é a média harmônica entre precisão e recall e fornece uma medida única do desempenho do modelo, levando em consideração tanto falsos positivos quanto falsos negativos.

5) Área sob a curva ROC (AUC ROC): A área sob a curva ROC (Receiver Operating Characteristic) é uma métrica que avalia a capacidade do modelo de distinguir entre as classes positiva e negativa, independentemente do limiar de classificação. A ROC é particularmente útil em situações de desbalanceamento de classes, pois não é afetada pela distribuição de classes no conjunto de dados.

## D. Balanceamento dos Dados

Dado o desbalanceamento das classes no conjunto de dados DREBIN e a propensão dos modelos tradicionais de aprendizado de máquina a apresentarem baixa capacidade de generalização devido ao favorecimento da predição da dasse majoritária, os modelos mencionados serão avaliados tanto antes quanto após o balanceamento dos dados. Após analisar o banco de dados, percebemos que a quantidade de features benignas é de aproximadamente 96%, enquanto as features malignas ocu<del>pam</del> os 4% restantes. Devido a essa discrepância no balanceamento das classes, decidimos utilizar a técnica SMOTE (Synthetic Minority Over-sampling Technique) para o balanceamento. Esta técnica foi utilizada apenas para criar artificialmente novos dados para a classe minoritária, a partir daqueles já presentes no conjunto/de dados, e adicioná-los ao conjunto original. Esperarios, dessa forma, evitar que a classe majoritária seja favorecida e prevenir um possível overfitting da classe minoritária que poderia ocorrer caso apenas duplicássemos esses dados.

# E. Ambiente de Experimentação

Nosse experimento foi conduzido com os seguintes recursos:

#### • Hardware:

- Processador: AMD Ryzen 7-5800H
- Placa de Video: NVidia GeForce RTX 3050 4GB
- Memoria: 16GB

#### Software:

- Sistema operacional: Windows 11
- Bibliotecas:
  - \* Numpy
  - \* Sklearn
  - \* Pandas

#### III. RESULTADOS

• Protocolo Experimental 1: Para aprimorar a avaliação dos classificadores monolíticos, optamos por adotar uma abordagem estratificada de hold-out, repetida 30 vezes. Neste procedimento, o conjunto de dados foi dividido na proporção de 80/20, garantindo a representatividade de cada classe em cada iteração. Além disso, implementamos um sistema de *ensemble* para cada classificador, utilizando 30 estimadores em cada técnica de *Bagging*, para garantir uma estimativa mais estável que pode ser comparável, em termos de variabilidade, aos resultados obtidos pela estratégia monolítica. Assim, poderemos realizar uma análise estatística abrangente e robusta dos resultados obtidos.

Ao término da primeira etapa da experimentação, feita com dados desbalanceados, obtivemos os resultados apresentados na Table 2 para os classificadores monolíticos e os resultados da Table 3 para os classificadores de *ensemble*.

• Protocolo Experimental 2: Após os experimentos descritos no Protocolo Experimental 1, balanceamos os dados utilizando a tecnica SMOTE e seguimos com a mesma abordagem estratificada de hold-out, repetida por 30 vezes. Cade o conjunto de dados foi dividido numa proporção de 80/20, e continuamos implementando um sistema de *ensemble* para cada classificador, utilizando 30 estimadores em cada técnica de *Bagging*.

Ao término da segunda etapa da experimentação, conduzida com dados balanceados, obtivemos os resultados apresentados na Tabela 4 para os classificadores monolíticos e na Tabela 5 para os classificadores de ensemble. Observamos uma melhora significativa nas métricas de Precisão, Recall, F1 e AUC ROC, indicando um aprimoramento na capacidade de generalização dos modelos. No entanto, verificamos uma diminuição na Acurácia, provavelmente devido ao fato de que o modelo não pode mais acertar a maioria das predições apenas atribuindo o valor da classe majoritária às instâncias.

Observamos que, após o balanceamento dos dados, alcançamos os valores esperados para um conjunto de dados balanceado utilizando as características malignas do Drebin. Isso é consistente com os resultados de Chenglin Li et al.

DAGE

- 7

[5], que utilizaram 5560 features malignas e selecionaram aleatoriamente 5560 features benignas do banco de dados do DREBIN. Os modelos de Chenglin Li et al. apresentaram, em média, uma acurácia de 96,96%, uma precisão de 95,60% e uma F1 de 97,06%.

# IV. COMPARAÇÃO COM TRABALHOS RELACIONADOS

# V. CONCLUSÕES E DISCUSSÕES

# REFERENCES

- Daniel Arp et Al. "Drebin: Efficient and Explainable Detection of Android Malware in Your Pocket", 21th Annual Network and Distributed System Security Symposium (NDSS), February 2014
   Michael Spreitzenbarth et Al. "MobileSandbox: Looking Deeper into
- [2] Michael Spreitzenbarth et Al. "MobileSandbox: Looking Deeper into Android Applications", 25th International ACM Symposium on Applied Computing (SAC), 16464, 2013
- [3] https://drebin.mlsec.org/
- [4] Luo Shi-qi et Al. "Deep Learning in Drebin: Android malware Image Texture Median Filter Analysis and Detection," KSII Transactions on Internet and Information Systems, vol. 13, no. 7. Korean Society for Internet Information (KSII), 2019.
- [5] Chenglin Li et (1) "Android Malware Detection Based on Factorization Machine" in IEEE Access, vol. 7, pp. 184008-184019, 2019
   [6] V. Kouliaridis et (Al.) "Feature Importance in Android Malware Detections"
- [6] V. Kouliaridis et (Al) "Feature Importance in Android Malware Detection," 2020 TFFE 19th International Conference on Trust, Security and Privacy in Computing and Communications (TrustCom), Guangzhou, China, 2020, pp. 1449-1454
- [7] De Diego et al. General Performance Score for classification problems. Appl Intell 52, 12049–12063 (2022)

- Colour o pome conflet

- Dutros Trabaltos
USARAM ESTE
RANCO TXE DADOS?
RANCO TXE DADOS?
CONO FOI D RESULTADO
Selves?

| Classificadores | Acurácia              | Precisão              | Recall                | F1                    | AUC ROC               |
|-----------------|-----------------------|-----------------------|-----------------------|-----------------------|-----------------------|
| Decision Tree   | $0.9817 \pm (0.0007)$ | $0.7713 \pm (0.0106)$ | $0.8194 \pm (0.0128)$ | $0.7945 \pm (0.0077)$ | $0.9042 \pm (0.0063)$ |
| Naive Bayes     | $0.9163 \pm (0.0030)$ | $0.2501 \pm (0.0098)$ | $0.4704 \pm (0.0149)$ | $0.3264 \pm (0.0097)$ | $0.7034 \pm 0.(0070)$ |
| MLP             | $0.9769 \pm (0.0011)$ | $0.8174 \pm (0.0327)$ | $0.6016 \pm (0.0282)$ | $0.6920 \pm (0.0149)$ | $0.7977 \pm (0.0136)$ |
| KNN             | $0.9814 \pm (0.0007)$ | $0.8136 \pm (0.0114)$ | $0.7383 \pm (0.0134)$ | $0.7740 \pm (0.0089)$ | $0.8653 \pm (0.0066)$ |

| Classificadores       | Acurácia | Precisão | Recall | F1     | AUC ROC |
|-----------------------|----------|----------|--------|--------|---------|
| Decision Tree Bagging | 0.9891   | 0.9037   | 0.8354 | 0.8682 | 0.9157  |
| Naive Bayes Bagging   | 0.9178   | 0.2486   | 0.4487 | 0.3200 | 0.6938  |
| MLP Bagging           | 0.9795   | 0.8527   | 0.6349 | 0.7278 | 0.8150  |
| KNN Bagging           | 0.9823   | 0.8183   | 0.7572 | 0.7865 | 0.8748  |

| Classificadores | Acurácia              | Precisão              | Recall                | F1                    | AUC ROC               |
|-----------------|-----------------------|-----------------------|-----------------------|-----------------------|-----------------------|
| Decision Tree   | $0.9812 \pm (0.0006)$ | $0.9737 \pm (0.0009)$ | $0.9891 \pm (0.0011)$ | $0.9813 \pm (0.0006)$ | $0.9812 \pm (0.0006)$ |
| Naive Bayes     | $0.7299 \pm (0.0046)$ | $0.7255 \pm (0.0047)$ | $0.7397 \pm (0.0141)$ | $0.7325 \pm (0.0067)$ | $0.7299 \pm (0.0046)$ |
| MLP             | $0.9337 \pm (0.0025)$ | $0.9319 \pm (0.0119)$ | $0.9361 \pm (0.0147)$ | $0.9338 \pm (0.0028)$ | $0.9337 \pm (0.0025)$ |
| KNN             | $0.9707 \pm (0.0009)$ | 0.9516 ± (0.0016)     | $0.9919 \pm (0.0013)$ | $0.9713 \pm (0.0009)$ | $0.9707 \pm (0.0009)$ |

 $\begin{tabular}{l} TABLE\ VI\\ RESULTADOS\ DO\ EXPERIMENTO\ 1\ -\ DADOS\ BALANCEADOS\ E\ BAGGING \end{tabular}$ 

| Classificadores       | Acurácia | Precisão | Recall | F1     | AUC ROC |
|-----------------------|----------|----------|--------|--------|---------|
| Decision Tree Bagging | 0.9853   | 0.9806   | 0.9903 | 0.9854 | 0.9853  |
| Naive Bayes Bagging   | 0.7308   | 0.7254   | 0.7428 | 0.7340 | 0.7308  |
| MLP Bagging           | 0.9437   | 0.9393   | 0.9488 | 0.9440 | 0.9437  |
| KNN Bagging           | 0.9720   | 0.9544   | 0.9913 | 0.9725 | 0.9720  |